

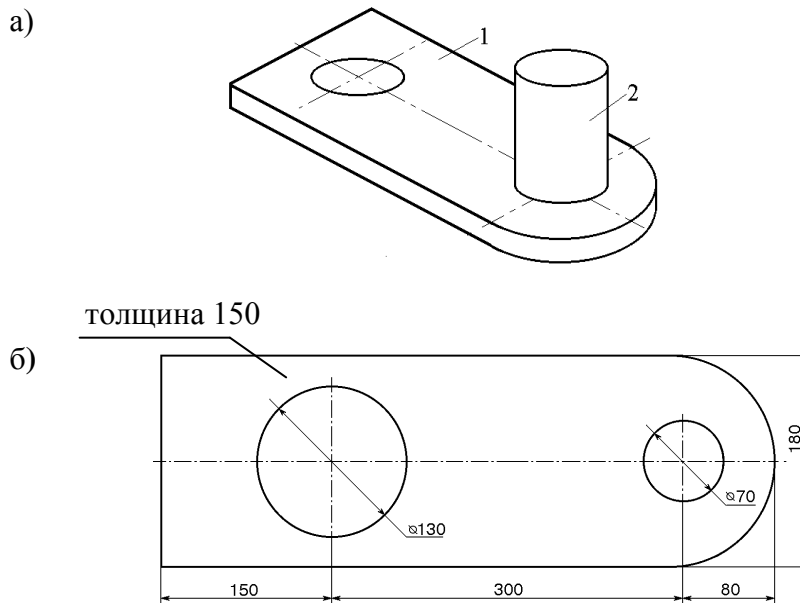
© Арпентьев Б.М., Резниченко Н.К.

## **ОПТИМИЗАЦИЯ ПРОЦЕССА РАЗБОРКИ СОЕДИНЕНИЯ С НЕОСЕССИМЕТРИЧНОЙ ПЛОСКОЙ ДЕТАЛЬЮ ПРИ ИНДУКЦИОННОМ НАГРЕВЕ**

Процесс разборки соединения с тепловым воздействием сложнее сборки, в связи с необходимостью более интенсивного нагрева охватывающей детали, для обеспечения разборочного зазора между деталями, несмотря на теплопередачу к охватываемой.

Нагрев неосесимметричной плоской детали для извлечения из нее охватывающей – вала, наиболее сложная задача вследствие теплоотвода различной интенсивности по координатным осям.

Особый интерес представляет нагрев соединения балансир с торсионом, который используется в ходовой части гусеничной машины. Балансир – это массивная плоская деталь, в отверстие которой по шлицевой посадке скольжения установлен торсион, представляющий собой тонкий вал. После эксплуатации соединение становится практически неразъемным из-за пластических деформаций шлицов и их коррозии. В балансире имеется также отверстие для оси катка. На рис.1. представлена схема балансира с торсионом.



**Рис. 1** - Схема балансира в сборе с торсионом а) и балансира б).

1 – балансир; 2 – торсион

Необходимо определить такое распределение температуры в балансире, которое, обеспечивая технологически заданное расширение отверстия, минимизирует количество тепла при ограничении уровня напряжений и температуры. Насколько известно, такая задача для плоской конструкции решается впервые.

Нагреву подлежит зона отверстия диаметром 70мм с двух сторон балансира, то есть выполняется локальный нагрев. Минимизируется функция энергии  $Q = Q(q_1, q_2, \dots, q_n)$ , затрачиваемой на нагрев детали, где  $q_1, q_2, \dots, q_n$  – мощность источников тепла, приложенных на некоторых плоскостях. При этом могут действовать ограничения на температуру

$$T_{min} \leq T(r) \leq T_{max}, \quad (1)$$

где  $T_{min}, T_{max}$  – предельные значения температуры, определяемые технологическими условиями и свойствами материала соответственно, и ограничения по напряжениям

$$\sigma_e \leq [\sigma], \quad (2)$$

где  $[\sigma]$  – величина допускаемых напряжений,

$$\sigma_e = \sqrt{0,5 \left[ (\sigma_r - \sigma_z)^2 + (\sigma_z - \sigma_\theta)^2 + (\sigma_\theta - \sigma_r)^2 \right] + 3 \left[ \tau_{rz}^2 + \tau_{z\theta}^2 + \tau_{\theta r}^2 \right]} \quad (3)$$

– эквивалентные напряжения.

Расчет по этой формуле (3) рекомендуется для материалов, которые одинаково работают при растяжении и сжатии. Она имеет также названия: четвертая теория прочности, критерий Гебера-Мизеса-Генки.

Граничное условие, представляющее собой неявное ограничение имеет вид

$$\delta \geq u, \quad (4)$$

где  $\delta$  – заданное расширение внутреннего отверстия детали  $u$ .

Для решения применен комплексный метод М.Бокса. Если целевая функция  $Q(q_1, q_2, \dots, q_n)$  выпукла и функции неявных ограничений тоже выпуклы, задача будет иметь единственное решение. При решении использован МКЭ в форме метода перемещений, с декартовой системой координат  $x, y, z$ . КЭ имеют треугольное поперечное сечение с тремя узлами (рис. 2).

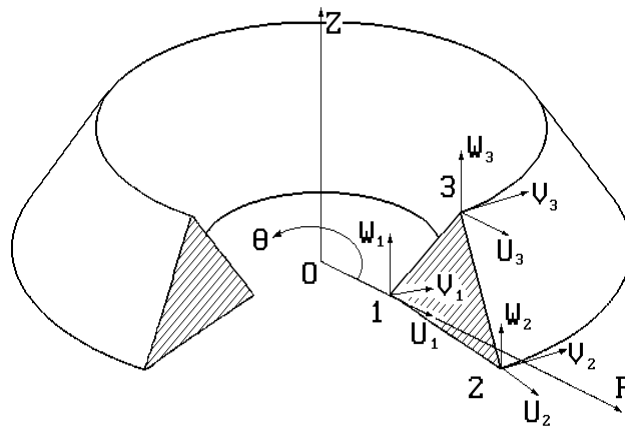


Рис. 2. Схема конечного элемента

Компоненты перемещений в узлах КЭ однозначно определяют перемещения внутри элемента.

$$\bar{U}^e = \begin{Bmatrix} u_1, v_1, u_2, v_2, u_3, v_3 \end{Bmatrix} \quad (5)$$

Перемещения внутри элемента задаются вектором-столбцом

$$\bar{U} = \mathbf{B}^T \mathbf{v} \bar{\mathbf{U}} = \mathbf{N} \bar{\mathbf{U}} \quad (6)$$

матрица  $[N]$  содержит функции формы

$$[N] = \begin{bmatrix} N_1 & 0 & N_2 & 0 & N_3 & 0 \\ 0 & N_1 & 0 & N_2 & 0 & N_3 \end{bmatrix}$$

$$N_i = 0,5(a_i + b_i + c_i)/\Delta, \quad (7)$$

где  $\Delta$  – площадь поперечного сечения КЭ в плоскости  $rz$ . Параметры  $a_i$ ,  $b_i$ ,  $c_i$  определяются по формулам

$$a_i = r_j z_m - r_m z_j; \quad b_i = z_j - z_m; \quad c_i = r_m - r_j; \quad (8)$$

$$i = \overline{1,3}; \quad j = \begin{cases} i+1 & (i \neq 3); \\ 1 & (i = 3), \end{cases} \quad m = \begin{cases} i-1 & (i \neq 1); \\ 3 & (i = 1), \end{cases}$$

где  $r_i$ ,  $z_i$  – координаты узловой точки КЭ.

Используются уравнения (5), (6), (7), (8).

Решение задачи МКЭ приводит к системе линейных алгебраических уравнений

$$[K] \bar{U}^e = \bar{R} + \bar{F}_{\varepsilon 0}, \quad (9)$$

где  $[K]$  – матрица жесткости тела, состоящая из матриц жесткости конечных элементов вида (4.60).

$$\bar{F}_{\varepsilon 0}^e = \int_{V^e} [B]^T [D] \bar{\varepsilon}^{(0)} dV^e \quad (10)$$

– вектор сил, обусловленных температурными деформациями  $\bar{\varepsilon}^{(0)}$ ,

$[D]$  – матрица упругости,

$$[D] = \frac{E}{1-\nu^2} \begin{bmatrix} 1 & \nu & 0 \\ \nu & 1 & 0 \\ 0 & 0 & \frac{1-\nu}{2} \end{bmatrix},$$

матрица  $[B]$  аналогична, где

$$\mathbf{B}_i = \frac{1}{2\Delta} \begin{bmatrix} b_i & 0 \\ 0 & c_i \\ c_i & b_i \end{bmatrix}.$$

Интегрирование производится численно, так как подинтегральное выражение не зависит от координат. После решения уравнения (9) можно получить перемещения в узлах элемента  $\vec{U}^e$  и с помощью соотношений можно получить перемещения в любой точке КЭ. Деформации могут быть получены из формулы, напряжения – из закона Гука

$$\vec{\sigma} = \mathbf{D} \left( \vec{\epsilon} - \vec{\epsilon}^{(0)} \right) \quad (11)$$

Матрица жесткости системы  $[\mathbf{K}]$  имеет ленточную структуру, причем ширина ленты зависит от формы конструкции и порядка нумерации узлов, и симметрична. Поэтому для решения системы линейных алгебраических уравнений (9) используется метод квадратного корня. Исходное уравнение вида

$$\mathbf{K} \vec{U} = \vec{F}$$

путем введения подстановки

$$\mathbf{K} = \mathbf{\Gamma} \mathbf{\Gamma}'$$

преобразуется к следующему виду

$$\mathbf{\Gamma} \vec{Y} = \vec{F},$$

откуда

$$\vec{U} = \mathbf{\Gamma}' \vec{Y}.$$

Алгоритм включает в себя вычисление элементов вспомогательных матриц (прямой ход).

Возможно также использование конечно-разностной схемы Кранка-Николсона, где вычисляются производные по времени от вектора температур  $\vec{T}$ . Предполагая, что

$$\frac{d\vec{T}^{(0)}}{d\tau} + \frac{d\vec{T}^{(1)}}{d\tau} = \frac{2(\vec{T}^{(1)} - \vec{T}^{(0)})}{\Delta\tau}, \quad (12)$$

получаем систему уравнений в виде

$$\left( \mathbf{K} \mp \frac{2}{\Delta\tau} \mathbf{C} \right) \vec{T}^{(1)} = \mathbf{C} \left( \frac{2}{\Delta\tau} \vec{T}^{(0)} + \frac{d\vec{T}^{(0)}}{d\tau} \right) + \vec{F}^{(cp)}, \quad (13)$$

где  $F^{(cp)}$  – вектор-столбец правой части уравнения в момент времени  $(\tau^{(1)} - \tau^{(0)})/2$ . Алгоритм этой схемы состоит в последовательном решении уравнения и нахождении  $d\vec{T}^{(1)}/d\tau$ .

Для решения полученной системы линейных алгебраических уравнений используется метод квадратного корня.

Важным вопросом при решении данной задачи является учет контактной теплопередачи. Рассмотрим его несколько иначе, чем в предыдущей задаче из-за иной физической сущности контакта. Будем использовать понятие термического контактного сопротивления  $R$  [ $\text{м}^2 \cdot \text{град}/\text{Вт}$ ]. Его удобно оценивать величиной эквивалентной длине материала  $B$ , температурный перепад на которой соответствует температурному скачку в зоне контакта, то есть

$$R = B/K.$$

Для учета контактного взаимодействия введены специальные контактные конечные элементы. Такой контактный элемент содержит 2 узла с одинаковыми координатами, принадлежащими к смежным контактирующим телам. Элемент характеризуется длиной  $L$  вдоль линии контакта в плоскости  $yz$  (вся область контакта должна быть «распределена» между контактными элементами, (рис.3) и эквивалентной толщиной  $B$ , которая характеризует его термическое сопротивление  $R$ . Если рассматриваемый контактный элемент при расчете НДС находится в состоянии «зазор», то

$$B = B_G \frac{K_G}{K} + B_0, \quad (14)$$

где  $B_G$ ,  $K_G$  – фактический зазор в точке контакта и теплопроводность газовой среды.

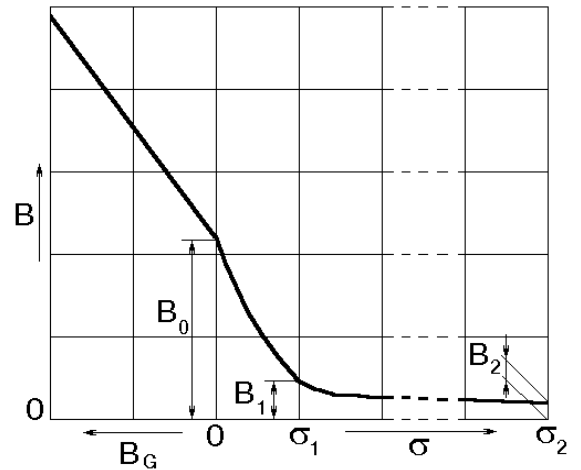
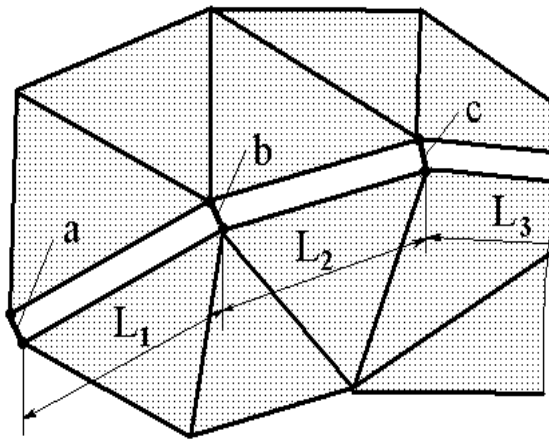
Если элемент находится в состоянии «натяг» то

$$\begin{aligned}
 B &= \frac{B_0}{1 + \left(\frac{B_0}{B_1} - 1\right) \left(\frac{\sigma}{\sigma_1}\right)^{0.8}}, & \sigma \leq \sigma_1; \\
 B &= B_1 - \frac{B_2 - B_1}{\sigma_2 - \sigma_1} (\sigma - \sigma_1), & \sigma_1 \leq \sigma \leq \sigma_2; \\
 B &= B_2, & \sigma > \sigma_2
 \end{aligned}
 \tag{15}$$

где  $B_0, B_1, B_2$  – термическое сопротивление в зоне контакта при нулевом сжимающем напряжении, сжимающем напряжении величиной  $\sigma_1$  и  $\sigma_2$ ,

$$R_i = B_i/K.$$

Длина линии контакта для элемента  $a$ , находящегося на краю линии контакта составляет  $L_1/2$ , для элемента  $b$  –  $L_1/2 + L_2/2$ ; для элемента  $c$  –  $L_2/2 + L_3/2$  (рис.4).



**Рис. 4** - Зависимость

**Рис. 3** - имер схемы распределения эквивалентной толщины  $B$  области контакта между контактными контактными элементами от элементами  $a, b, c$  состояния зоны контакта

На рис. 4 представлена зависимость эквивалентной толщины  $B$  контактного элемента от состояния зоны контакта.

Матрица теплопроводности контактного элемента определяется по формуле

$$\mathbf{K} = \frac{KV}{B^2} \begin{bmatrix} 1 & -1 \\ -1 & 1 \end{bmatrix}
 \tag{16}$$

где  $V$  – объем, определяемый длиной  $L$  линии контакта, эквивалентной толщиной  $B$  для данного элемента и толщиной детали  $H$ .

Решение оптимизационной задачи выполняется итерационным методом. В нем предполагается, что известно количество варьируемых переменных  $n$ , количество ограничений  $m$  и начальная точка  $\vec{q}_0 = \{q_1, q_2, \dots, q_n\}^T$ , удовлетворяющая всем ограничениям. В первую очередь, выбирают  $k = 2n$  точек, которые удовлетворяют всем ограничениям, а также вычисляют целевую функцию  $W$  во всех  $k$  точках. Множество этих точек называют комплексом.

Как упоминалось выше, предполагается, что точка  $\vec{q}_0$  удовлетворяющая всем ограничениям, задана. В качестве начальной, как правило, выбирается равномерная мощность нагрева конструкции. Остальные точки, удовлетворяющие ограничениям, могут быть найдены следующим образом

$$q_{ij} = q_{\min} + r (q_{\max} - q_{\min}), \quad (17)$$

где  $r$  - псевдослучайная переменная, равномерно распределенная в интервале  $(0; 1)$ . Если точка, выбранная в соответствии с (4.91), не удовлетворяет всем ограничениям, то она смещается на половину расстояния до центра тяжести множества уже принятых точек  $\vec{q}_c$ . то есть формируется точка

$$\vec{q}'_i = (\vec{q}_i + \vec{q}_c) / 2. \quad (18)$$

Если начальную точку  $\vec{q}_0$ , отвечающую всем ограничениям, найти не удастся, оптимизация применяется для удовлетворения ограничений. После нахождения точки  $\vec{q}_0^{(1)}$ , удовлетворяющей условию (3), можно перейти к последовательной оптимизации других ограничений, которые не выполняются в точке  $\vec{q}_0^{(1)}$ .

Итерационная процедура комплексного метода производит поиск минимума перемещением по направлению к минимуму внутри области ограничений.

При проверке на сходимость величин  $\sigma^2$  используются среднее квадратическое отклонение для  $k$  значений функции и максимальное расстояние  $d$  между двумя точками комплекса

$$\sigma^2 = \sum_{i=1}^k \frac{(W(\vec{q}_i) - \bar{W})^2}{k}, \quad (19)$$

где

$$\bar{W} = \frac{1}{k} \sum_{i=1}^k W(\vec{q}_i). \quad (20)$$

Если величина достаточно мала, то процедура поиска минимума заканчивается. В противном случае необходимо вернуться на шаг 1 и повторить процедуру.

Выбор  $k = 2n$  и  $\alpha = 1,3$  является эмпирическим правилом. Первое значение частично предотвращает преждевременное сжатие комплекса.

Описанный алгоритм итерационной процедуры использует программный комплекс МКЕ-Д, предназначенный для расчета напряженно-деформированного состояния тел в условиях упругого и упруго-пластического деформирования и задач теплопередачи, а также для оптимизации параметров расчета.

Предлагаемая модель для плоской охватывающей детали с неосесимметрично расположенным в ней отверстием позволяет определить мощности и периодичность действия распределения источников индукционного нагрева.

### **Список использованных источников**

1. Андреев А. Г. Напряженно-деформированное состояние составных осесимметричных конструкций, собираемых с натягом при использовании нагрева / А. Г. Андреев, Н. К. Резниченко // Вісн. Нац. техн. ун-ту "ХПІ". – Х. , 2005. – №47. – С. 3–8.
2. Арпентьев Б. М. Новый метод определения составляющих тепловой проводимости / Б. М. Арпентьев А. К. Дука, А. Н. Куцын // Сб. науч.

тр. Харьк. ин-та социал. прогресса (ХИСП). – Х., 1997. – С. 169–177.

3. Вигак В.М., Ясинский А.В. Оптимизация осесимметричных термоупругих напряжений и перемещений круглой пластины // Докл. АН УССР. – 1985. – Сер. А, № 12. – С. 24–26.
4. Дука А. К. Оптимизация индукционного нагрева изделий в механосборочном производстве / А. К. Дука, Н. К. Резниченко // Резание и инструмент в технологических системах : междунар. науч.-техн. сб. / Нац. техн. ун-т «ХПИ». – Х., 2007. – № 72. – С. 136–143.

*Арпентьев Б.М., Резниченко Н.К.* «Оптимизация процесса разборки соединения с неосесимметричной плоской деталью при индукционном нагреве».

В статье рассмотрен процесс разборки прессового соединения с неосесимметричной плоской деталью при индукционном нагреве.

*Арпентьев Б.М., Резниченко М.К.* «Оптимізація процесу розбирання з'єднання з невісесиметричною плоскою деталлю при індукційному нагріві».

У статті розглянуто процес розбирання пресового з'єднання з невісесиметричною плоскою деталлю при індукційному нагріві.

*Arpentev B., Reznichenko N.* «Optimisation of process of dismantling of joint with non axisymmetric a flat detail at the induction heating».

The process of sorting out joints of press with non axisymmetric flat detail at the induction heating is considered in the article.